

## II - 60 バイパス型余水吐減勢装置における減勢杭の振動特性

○東京大学 正員 鳥祐之  
東京大学 学生員 猪原国宏

本研究室において考察され、東京電力早川第一発電所に設置された上記減勢装置は、現場試験の結果減勢杭の振動について興味ある結果が得られたので、引つき実験室内で系統的な実験を行い以下に示される如き諸特性が明らかになった。

### 1. 実験装置及び方法

実験装置は現場の約1/2の縮尺のものであり、その概略は図-1に示される。すなわちハウエルバルブガーバルブより放散される高流速水流は、鉛直管に配置された10列の群杭により効果的に減勢されるものである。

振動測定用の杭は円筒部末端に各列1本づつ前引より6本配置した。その形状

は図-2の如くであり、1本の鋼棒から前突出し、杭に働く流れ抵抗を端部の円板裏側に貼布したStrain Gaugeにより測定出来るようになっている。

一般に減勢装置内に生ずる水理現象は、バルブ開度、空気孔開度およびfore bay水位に支配される。バルブ開度は全ストローカを10等分したものとすれば、この場合G7は設計流量 $16 \text{ m}^3/\text{sec}$  G9は運常流量 $18.5 \text{ m}^3/\text{sec}$ に対応する。空気孔開度はA0.3とA5がそれそれ全閉及び全開に、またfore bay水位は建緒水路のせき上げ高さで表はされ图の及び图20はそれそれ模型で0cm及び20cmのせき上げをした場合に対応する。実験は4系列に大別される。图1に示す拘束をもつた群杭を対象とし、それそれに付し中立軸変位より静的特性を求める実験と、振巾より動的特性を求める実験を行つた。なお单杭及び群杭の中立軸変位と群杭の振巾については物理条件をN2, 4, 5.5, 7, 9の2通り；A0.5の2通り、W0.20の2通り合計20通りに変化させ、单杭の振巾に對しては、G3, 7, 9の3通り；A及びWは同じとし合計12通りに変化させて測定を行つたものである。

図-1 実験装置

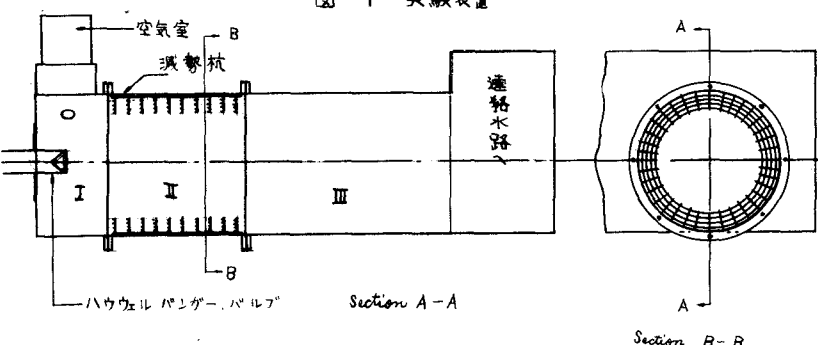


図-2 測定用杭

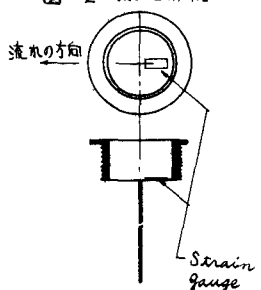
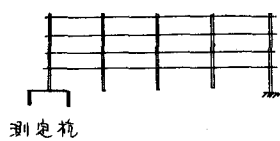


図-3



## 2. 流況について

減勢装置内の流況は前述の水理条件により複雑に変化する。バルブ開度の小さくせき上げも小さい場合には、装置内は開水路となり空気孔の影響が強められる。流量の大きさで $G \sim 4$ に相当する流況を各水理条件に応じて示せば図-4のようである。

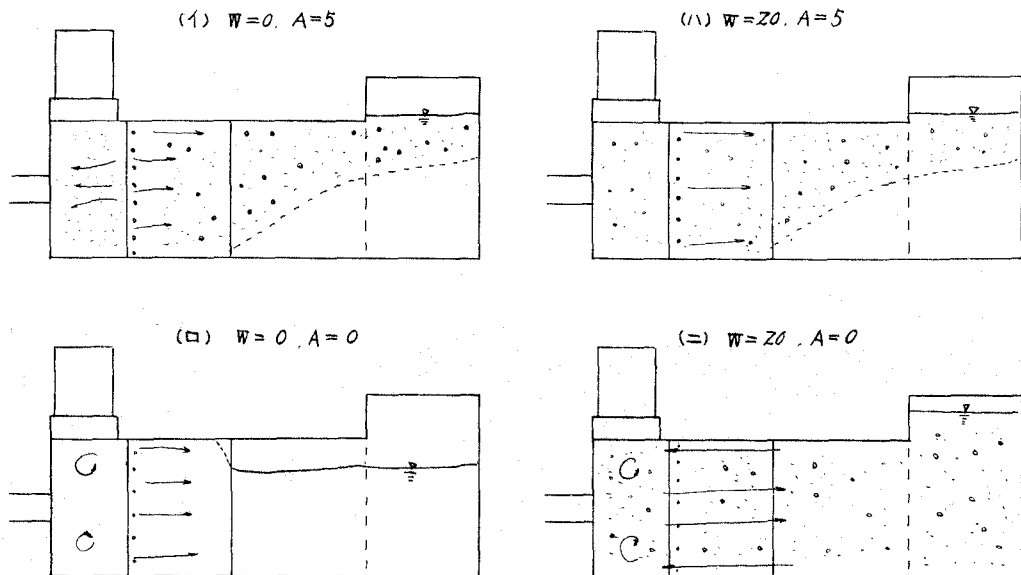


図-4 流況

(I)  $W = 0, A = 5$  放射された高速水流はⅡの上流部で杭に衝突し、同時に空気孔より空気が混入し、激しい搅乱流が形成される。それは直ちに同箇内に拡がり次々と杭の間を通して $G < 5.5$ では自由表面を持ち、 $G > 5.5$ では満管流となる。しかしこの場合、流れの上半部は気泡流となるており、流量と空気流量とはほぼ等量である。

(II)  $W = 0, A = 0$   $G \sim 4$ では(Ⅰ)と同じ流況であるが、 $G > 5.5$ ではⅡの上流側は満管になつてゐる。Ⅰ及びⅡの上流部分には著しく激しい渦を伴う搅乱を生じ、エネルギーは集中的にこの部分で失われてゐる。従ってⅢの部分では非常に静かな流れとなつてゐる。このことから、減勢效果のみを考えれば空気孔を用いた方が有利と考えられる。

(III)  $W = 20, A = 5$  この場合の流れは(Ⅰ)似てゐるがⅠの部分に湯が生じてゐる点と、 $G < 5.5$ でもⅢの部分が満管である点が異つてゐる。

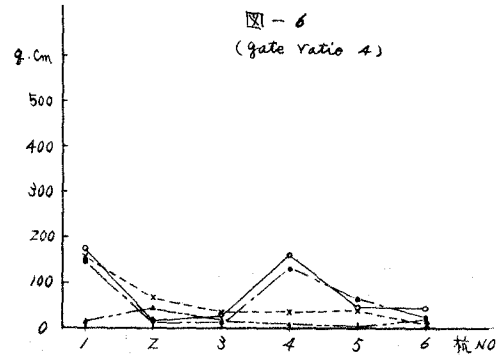
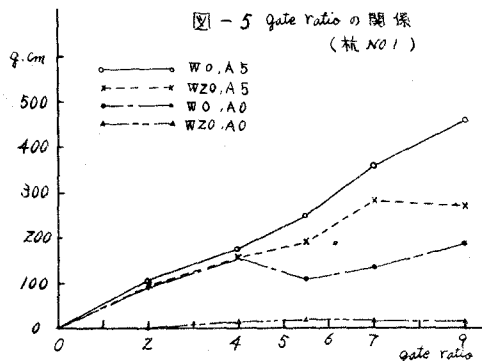
(IV)  $W = 20, A = 0$  この場合は前と異り、円筒部の中でも附近は下流に向う流れが生ずるが周辺部では逆流が生ずる。これはⅠの部分の圧力が相対的には一番低いためと考えられまた外気が低圧部に周期的に補給され一種のエアーハンマーの如き現象が生ずる。

### 3. 実験結果

実験は前述の手順列に従って行はれたが、単杭と群杭との結果は良く似ているので単杭の結果のみを示すこととする。

#### (1) 減勢杭の中立軸変位に関する実験結果

図-5はW及びAを一定にした時、Gが中立軸変位に及ぼす影響を示し、又図-6,7は水理条件を媒介変数にとった時、各杭の中立軸変位の分布を示すものである。同図より



①バルブ開度に関してはGが大きい程、即ち杭に当る流れの運動量が大きい程変位は大きい。(図-5)

②Gの小さな場合には各条件の間でW=20, A=0を除いては余り差が認められない。

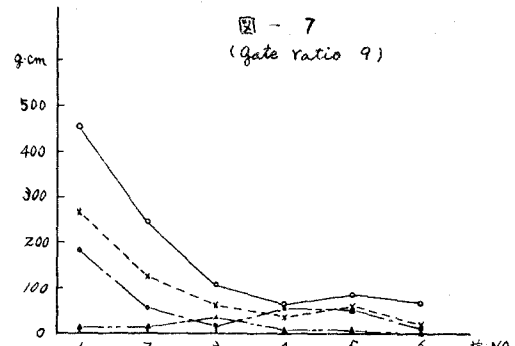
これは流れが円筒部周辺部に偏在し、中心部は中空になつてゐるため、エア部分の圧力が外気とほぼ等しくなつてゐるからと考えられる。(図-6)

③Gが大きくなると、空気孔の影響が著しく現はれ、Aが大きい程、変位は大きい。これは漏水機構がエア部分の圧力低下と密接な関係を有する事と、漏入空気が大きいと流水断面を少くしてエア部分の流速を大さくする事によってそのことを考えられる。(図-7)

④ヤキ上げ水位の影響は空気孔のそれより少いが認められる。即ちWが大きいと変位は小さくなるが、これは下流側の水位が上昇すれば射出水脈に対し反対して働く傾向にあるためと考えられる。(図-7)

⑤各列における杭変位の絶対値の分布に関しては、杭1が最も大きく次第に小さくなり、4で極小となり以下わずかに増しさらに低下する。この事は円筒内部で漏水の運動量が失はれて行く課程がほぼ3段階に分かれている事を示すものである。(図-7)

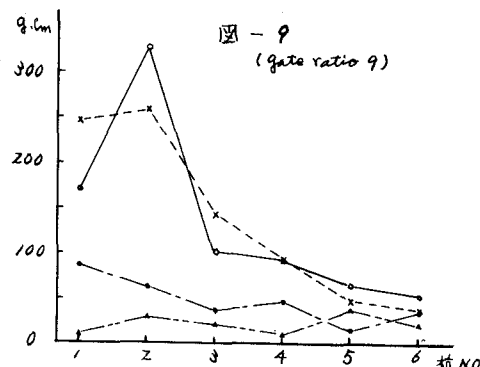
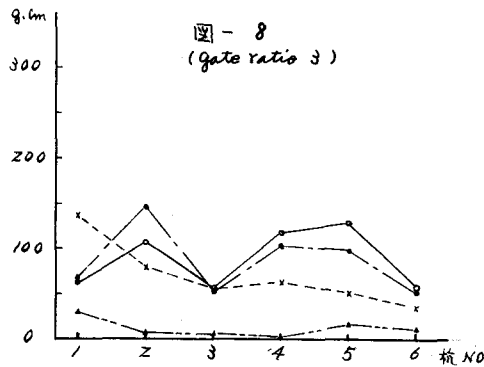
⑥空気孔を開ければ発生されるエネルギーは大きくなるにもかかわらず、杭変位は非常に小さくなる。これは射出水が散乱し円筒内断面を蓋つたため、エア部分は外気と完全に遮



断され、かつ低圧となるので流れの系全体としての鉛合を保つようにならざるである。

#### (II) 杣の振巾に因する実験結果

各種水理条件に対応する減勢杭の平均振巾は図-8, 9に示され、これらより



①  $G$  の小さい場合には、中立軸変位と同様に  $W=20, A=5$  を除いては余り差が認められぬ。総断方向の分布は  $W=0$  ではかなり不規則になつていて杭2, 杭5では極大、杭3では極小になつてゐる。(図-8)

②  $G$  が大きくなると、空気孔やヤキ上げの影響が現はれて来る。その定性的な傾向は中立軸変位のそれとほぼ同じである。ただしここでは空気孔全開の場合、杭1の方が杭2よりやや振巾が小さい事と、より下流では振巾はほぼ一様に倍減して行く事が認められる。(図-9)

③ 空気孔を開ければ、さらにはヤキ上げを大きくすれば杭の振巾は小さくなる。従つてこの様な場合には杭自身の受け持つ流水抵抗、換言すれば杭の背後に形成される渦によって消費されるエネルギーは比較的少ないのではないかと思はれる。(図-9)

单杭ならびに群杭に関する実験結果を総合すれば次の事項が示される。

① 杣の振巾を  $M$ 、中立軸変位を  $M_0$  で表はした時、单杭では  $M/M_0 = 1.0 \sim 1.8$  となり、群杭では 0.8～1.2程度となる。これは杭が交番応力を受ける事を意味してゐるので実際の装置ではこの点を考慮して合理的な設計を行はべきである。

② 杣の受けける静的なならびに動的な流水抵抗が空気孔を開けると少なりからと言つて、空気孔を開ける事は Cavitation の実から危険である。設計条件としては、飽くまで  $A=5, W=0$  を採用すべきである。

③ 装置内で流水がエネルギーを失う機構は複雑であるが、設計条件に近い場合には杭の背後に生ずる渦によつて失はれるエネルギーが大であり、空気孔を開け、ヤキ上げを高くした場合は、えり工の部分に形成される強力な渦によるものが大であると考えられる。